

珊瑚姜油对宫颈癌 HeLa 细胞增殖及凋亡的影响*

吴春维¹,涂云华²,李明娥²,叶振源²,薛月萃²,曹煜²

(贵州医科大学附属医院 1. 体检中心;2. 皮肤性病科, 贵阳 550004)

摘要 目的 探讨珊瑚姜油(ZCO)对宫颈癌 HeLa 细胞增殖及凋亡的影响及其作用机制。方法 $5 \sim 80 \text{ mg} \cdot \text{L}^{-1}$ ZCO 体外作用于 HeLa 细胞。CCK-8 检测细胞毒性;吖啶橙/溴化乙啶(AO/EB)染色,倒置显微镜观察细胞形态变化;比色法检测 caspase-3 酶活性;Western blotting 检测 hsp-70 表达;流式细胞仪检测细胞凋亡及周期。结果 ZCO 以时间-剂量依赖性方式抑制 HeLa 细胞株增殖,镜下见典型细胞凋亡形态,caspase-3 酶活性亦呈剂量依赖性增加。随药物浓度增加,hsp-70 蛋白表达量逐渐减少, G_2 期细胞逐渐增加,细胞阻滞在 G_2/M 期。**结论** ZCO 对 HeLa 细胞株具有抑制增殖及促凋亡作用,其机制是激活凋亡关键酶,使 hsp-70 蛋白表达量逐渐下降,使细胞周期阻滞在 G_2/M 期。

关键词 珊瑚姜油;癌,宫颈;HeLa 细胞;细胞周期

中图分类号 R282.71;R737.33 **文献标识码** A **文章编号** 1004-0781(2017)01-0032-05

DOI 10.3870/j.issn.1004-0781.2017.01.007

Effect of *Zingiber corallinum* Oil on Proliferation and Apoptosis of Cervical Carcinoma Cell Line HeLa

WU Chunwei¹, TU Yunhua², LI Minge², YE Zhenyuan², XUE Yuecui², CAO Yu² (1. Department of Physical Examination; 2. Department of Dermatology and Venereal Disease, the Affiliated Hospital of Guizhou Medical University, Guiyang 550004, China)

ABSTRACT Objective To investigate the effect of *Zingiber corallinum* oil (ZCO) on apoptosis and proliferation of cervical carcinoma cell line HeLa. **Methods** HeLa cells were treated with different concentrations of ZCO ($5 \sim 80 \text{ mg} \cdot \text{L}^{-1}$) *in vitro*. Cytotoxicity rate was determined by CCK-8 assay. The morphological changes was observed using inverted microscope after AO/EB staining. Caspase-3 activities were measured with a colorimetric method. Protein level of hsp-70 were detected by Western blotting. Cell cycle and apoptosis were analyzed by flow cytometer (FCM). **Results** ZCO exhibited effect of proliferation inhibition and apoptosis-inducing on the growth of HeLa cells in a dose-dependent manner. Caspase-3 activities increased in a dose-dependent manner while the expression of hsp-70 decreased. Cell cycle was arrested in G_2/M phase.

Conclusion ZCO exhibits a marked effect of proliferation inhibition and apoptosis-inducing on HeLa cells. The mechanism of ZCO might be activating the key enzyme in apoptotic pathway, so that the expression of hsp-70 is down-regulated, and cell cycle is arrested in G_2/M phase.

KEY WORDS *Zingiber corallinum* oil;Carcinoma, cervical; HeLa cell; Cell cycle

宫颈癌是最常见的妇科恶性肿瘤。原位癌高发年龄 30~35 岁,浸润癌高发年龄 45~55 岁,近年来其发病有年轻化的趋势,且发病率呈上升趋势^[1-3],因此,寻找对宫颈癌细胞有抑制作用的药物成为当前的研究热点。珊瑚姜是中国的传统苗药之一,通过超临界二氧化碳法从珊瑚姜中提取的珊瑚姜油(*Zingiber*

corallinum oil,ZCO),其主要成分为三戊并烯 1,4-二甲氧基(22.01%)、松油稀-4-醇(16.26%)、香桧烯(16.19%)^[4-5]。近年来发现,珊瑚姜油具有抗菌、抗真菌、杀虫、抗氧化等活性^[6-9]。但抗肿瘤作用笔者还未见报道。本实验主要研究 ZCO 对 HeLa 细胞增殖抑制及凋亡的影响并探讨作用机制。

1 材料与方法

1.1 试剂与材料 ZCO[贵阳舒美达药厂,批号:20150801,含量:99%,二甲亚砜(DMSO)溶解后,培养液稀释成 $1 \text{ mg} \cdot \text{L}^{-1}$,滤过除菌备用],HeLa 细胞(普诺赛生物科技有限公司),CCK-8(日本同仁化学研究所,产品编号:A311-01/02/03),胎牛血清(杭州四季青有限公司,产品编号:110913),Annexin V-FITC/PI 凋亡试剂盒(上海贝博生物科技有限公司,产品编号:401003)及周期试剂盒(上海贝博生物科技有限公司,产品编号:401278),caspase-3 检测试剂盒(南京建成

收稿日期 2015-11-26 修回日期 2016-01-16

基金项目 *贵州省中药现代化专项项目[黔科合中药字(2012)5018 号];贵州省子宫颈癌前病变的蛋白质组研究项目[黔科合 J 字(2006)2070 号]

作者简介 吴春维(1964-),女,贵州贵阳人,副主任医师,学士,研究方向:子宫颈癌前病变的蛋白质组。电话:0851-86770817,E-mail:1960746280@qq.com。

通信作者 曹煜(1963-),男,贵州贵阳人,主任医师,硕士,研究方向:中草药现代化。电话:0851-86770817,E-mail:2692327139@qq.com。

生物工程研究所,产品编号:G015),hsp-70 蛋白抗体(GeneTex,产品编号:AH728-1),RIPA 裂解液(产品编号:P0013B)、苯甲基碘酰氟(产品编号:ST505)、蛋白质聚丙烯酰胺凝胶配制试剂盒(产品编号:P0012A)、Western 二抗稀释液(产品编号:P0023D)、一抗稀释液(产品编号:P0023A)、封闭液(产品编号:D3308B)、二辛可宁酸蛋白浓度测定试剂盒(产品编号:P0009)、一抗二抗去除液(产品编号:P0025)、聚偏氟乙烯膜(产品编号:FFP36)均购自江苏碧云天生物技术研究所,Goat Anti-Rabbit IgG-HRP(Abmart,产品编号:sc-2004)及 Actin Mouse mAb(Abmart,产品编号:AC004),Chemiluminescent HRP Substrate(Immobilon™ Western,产品编号:WBKLS0050)。

1.2 仪器 奥林巴斯倒置荧光显微镜(奥林巴斯 IX51),ELX800 酶联免疫检测仪(美国宝特公司),BD FACSCalibur 流式细胞仪(美国 BD FACSCalibur)。

1.3 方法

1.3.1 细胞培养 HeLa 细胞用达尔伯克必需基本培养液(DMEM,含 10% 胎牛血清 + 1% 青链霉素双抗),置于 37 °C、5% 二氧化碳(CO₂)培养箱中培养,0.25% 胰酶消化传代,取对数生长期细胞进行实验。

1.3.2 细胞毒性检测 离心收集对数生长期细胞,参考涂云华等^[10]介绍的方法,调整细胞密度为 1.5×10^5 个·mL⁻¹后接种于 96 孔板,每孔 0.05 mL,培养 24 h 后,实验组加入 ZCO,每孔补足培养液至 0.1 mL,使药物终浓度分别为 5,10,20,40,80 mg·L⁻¹,共 5 组,另设正常对照组,即正常细胞,无药物处理;空白对照组无细胞。每组均设 6 个复孔,CO₂ 培养箱中继续培养 24,48 及 72 h,培养结束的 1.5 h 前,每孔加入 CCK-8 溶液 10 μL,继续培养,酶标仪测定波长为 405 nm 时吸光度(A)值。细胞增殖抑制率(%) = (正常对照组 A - 给药组 A / 正常对照组 A - 空白对照组 A) × 100%。

1.3.3 细胞形态观察 调整实验细胞密度为 1.2×10^4 个·mL⁻¹,接种至 6 孔板,培养 24 h 后,加入 ZCO,使其终浓度为 5,20,80 mg·L⁻¹,设空白对照组(无细胞),培养 48 h 后,经吖啶橙/溴化乙啶(acridine orange/ethidium bromide, AO/EB)染色,倒置显微镜观察细胞形态。

1.3.4 Caspase-3 酶活性细胞培养 方法同“1.3.3”项,参考涂云华等^[10]介绍的方法离心收集细胞,按照每两百万细胞加入裂解液 50 μL 的比例加入裂解液,12 000 × g 离心 10 ~ 15 min,吸取上清液,按照 caspase-3 酶活性检测试剂盒步骤加入试剂,37 °C 孵育 4 h,酶

标仪检测波长为 405 nm 时吸光度值。caspase-3 活化程度 = 给药组 A / 正常对照组 A。

1.3.5 Western blotting 检测 hsp-70 蛋白表达 调整细胞密度为 1.4×10^5 个·mL⁻¹,接种于 6 孔板中,加入 ZCO,使其终浓度分别为 0,10,40 μmol·L⁻¹,设置不加药物细胞为正常对照组,培养 2,48 及 72 h 后,胰酶消化贴壁细胞,参考 HWANG 等^[11]介绍的方法根据 RIPA 裂解试剂盒,按 100:1 比例向 RIPA 裂解液中加入苯甲基碘酰氟,每孔加入裂解液 200 μL 进行裂解,根据二辛可宁酸蛋白浓度测定试剂盒检测样品蛋白的浓度,上样前,于 96 °C 热水中变性 5 min,每孔上样体积为 20 μL,上样量为 20 μg,进行垂直电泳,浓缩胶 80 V,60 min,分离胶 120 V,100 min,切胶后,200 mA 电转膜 100 min,用封闭液封闭 2 h,TBST 洗涤 3 次,每次 10 min,一抗孵育过夜(hsp-70 用一抗稀释液稀释为 1:1 000),清洗聚偏氟乙烯膜同上,二抗孵育 60 min,TBST 洗涤 3 次,每次 10 min,按 Chemiluminescent HRP Substrate 试剂盒加入发光剂,行胶片曝光,用一抗、二抗去除液清洗 PVDF 膜后,继续检测其他抗体。

1.3.6 细胞凋亡及周期检测 取对数生长期细胞,调整细胞密度为 1.6×10^5 个·mL⁻¹,药物浓度设置同“1.2.3”项,培养 48 h 后,调整细胞密度为 1.3×10^6 个·mL⁻¹,参考吴江群等^[12]介绍的实验方法,行细胞固定,AnnexinV-FITC/PI 染色及按周期试剂盒染色后,BDFACSCalibur 流式细胞仪测定细胞凋亡及其周期。

1.4 统计学方法 采用 SPSS19.0 版统计学软件进行统计分析,计量资料以均数 ± 标准差($\bar{x} \pm s$)表示,组间均数比较采用单因素方差分析,以 $P < 0.05$ 为差异有统计学意义。药效-剂量关系运用曲线估计,用 R² 及 F 值来表示。

2 结果

2.1 ZCO 组对 HeLa 细胞的抑制作用 见表 1,ZCO 对 HeLa 细胞的抑制作用方式呈时间-剂量依赖性,尤以 48 h 作用较为明显($F = 31.25, P < 0.05$)。

2.2 细胞形态 正常 HeLa 细胞贴壁生长,呈多角形及不规则形,生长迅速(图 1)。ZCO 处理后,细胞生长变慢,胞质间隙增大,可见数目不等的漂浮细胞及碎片,AO/EB 染色后,从低浓度至高浓度,凋亡细胞及坏死细胞逐渐增多。

2.3 Caspase-3 酶活性 见表 2,随着药物浓度增加,caspase-3 酶活性随之增强($F = 31.15, P < 0.05$)。

2.4 hsp-70 蛋白表达 见图 2,低浓度至高浓度 ZCO 作用 HeLa 细胞 24,48 及 72 h,hsp-70 逐渐降低,其作用方式呈时间-剂量依赖性。

表 1 6 组细胞抑制情况比较

组别与时间	A 值	抑制率/%
$\bar{x} \pm s, n=6$		
正常对照组		
24 h	0.93 ± 0.02	-
48 h	0.95 ± 0.02	-
72 h	0.98 ± 0.03	-
5 mg·L ⁻¹ ZCO 组		
24 h	0.90 ± 0.12	7 ± 2
48 h	0.87 ± 0.01	9 ± 1
72 h	0.88 ± 0.04	8 ± 1
10 mg·L ⁻¹ ZCO 组		
24 h	0.88 ± 0.01	9 ± 2
48 h	0.85 ± 0.00	11 ± 0
72 h	0.85 ± 0.02	21 ± 1
20 mg·L ⁻¹ ZCO 组		
24 h	0.82 ± 0.02	13 ± 1 * ¹
48 h	0.75 ± 0.01	20 ± 1 * ¹
72 h	0.74 ± 0.02	21 ± 1 * ¹
40 mg·L ⁻¹ ZCO 组		
24 h	0.75 ± 0.01	18 ± 1 * ¹
48 h	0.68 ± 0.01	31 ± 2 * ¹
72 h	0.70 ± 0.01	29 ± 1
80 mg·L ⁻¹ ZCO 组		
24 h	0.68 ± 0.02	22 ± 1
48 h	0.50 ± 0.00	55 ± 1
72 h	0.53 ± 0.02	56 ± 1

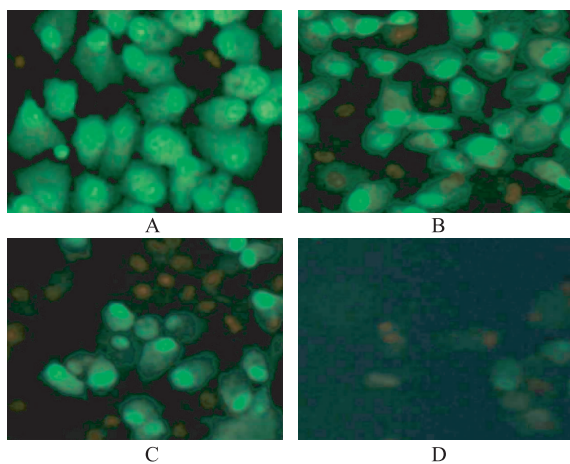
与正常对照组比较, *¹P < 0.05Compared with normal control group, *¹P < 0.05A. 正常对照组;B. 5 mg·L⁻¹ ZCO 组;C. 20 mg·L⁻¹ ZCO 组;D. 80 mg·L⁻¹ ZCO 组

图 1 4 组 HeLa 细胞形态 (A0/EB 染色, ×200)

A. normol control group; B. 5 mg·L⁻¹ ZCO group; C. 20 mg·L⁻¹ ZCO group; D. 80 mg·L⁻¹ ZCO group

Fig. 1 Morphology of four groups of HeLa cells (A0/EB staining, ×200)

表 2 4 组 HeLa 细胞 48 h caspase-3 酶活性比较

组别	A 值	酶活性
$\bar{x} \pm s, n=6$		
正常对照组	0.81 ± 0.01	-
5 mg·L ⁻¹ ZCO 组	0.72 ± 0.00	1.05 ± 0.12 * ¹
20 mg·L ⁻¹ ZCO 组	0.15 ± 0.01	1.91 ± 0.03 * ¹
80 mg·L ⁻¹ ZCO 组	0.07 ± 0.00	3.31 ± 0.01 * ¹

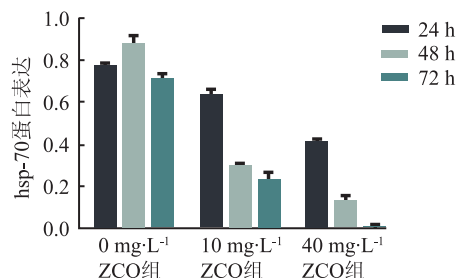
与正常对照组比较, *¹P < 0.05Compared with normal control group, *¹P < 0.05

图 2 ZCO 对 HeLa 细胞 hsp-70 蛋白表达的影响

Fig. 2 Effect of ZCO on the protein expression of hsp-70 in HeLa cells

2.5 细胞凋亡 ZCO 作用 HeLa 细胞 48 h 后, 细胞出现不同程度的凋亡, 由低浓度至高浓度, 凋亡逐渐增加, 尤其以早期凋亡较为明显。见图 3。

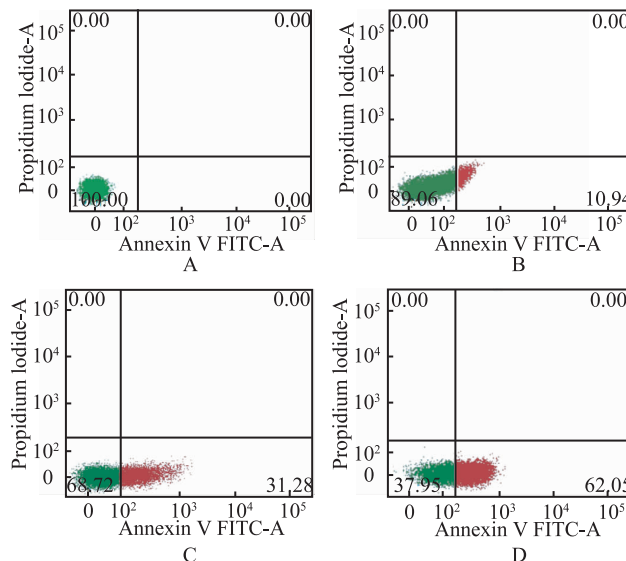
A. 正常对照组;B. 5 mg·L⁻¹ ZCO 组;C. 20 mg·L⁻¹ ZCO 组;D. 80 mg·L⁻¹ ZCO 组

图 3 4 组 HeLa 细胞凋亡情况

A. normol control group; B. 5 mg·L⁻¹ ZCO group; C. 20 mg·L⁻¹ ZCO group; D. 80 mg·L⁻¹ ZCO group

Fig. 3 Apoptosis of four groups of HeLa cells

2.6 细胞周期变化 ZCO 作用 HeLa 细胞 48 h, 随药物浓度增加, G₂ 期细胞逐渐增加, 细胞阻滞在 G₂/M 期。

3 讨论

珊瑚姜能药食两用, 有广泛的药理活性, 且毒性小^[13-14]。ZCO 具有抗细菌及抗真菌等作用, 但很少有抗肿瘤方面的研究报道。本研究显示, ZCO 对 HeLa 细胞的生长具有抑制作用, 随着药物浓度增加, 抑制作用增强, 其作用方式呈现时间-剂量依赖性, 且当药物作用 48 h, 抑制作用较为明显。吖啶橙透过正常细胞膜, 使细胞核呈绿色或黄绿色均匀荧光, 其使凋亡细胞染上致密浓染的黄绿色荧光或黄绿色碎片颗粒; 而坏死细胞黄色荧光减弱甚至消失^[15-17]。本实验中, ZCO 由低浓度至高浓度, 黄绿色荧光逐渐减少, 而红色荧光逐渐增多, 细胞变成圆形或椭圆形, 见数量不等的漂浮细胞及细胞碎片。流式细胞仪检测凋亡结果亦证明, 随药物浓度增加, 凋亡程度愈加明显。

Caspase-3 最主要的底物是多聚(ADP-核糖)聚合酶[poly(ADP-ribose) polymerase, PARP], 该酶与 DNA 修复、基因完整性监护有关^[18-19]。在细胞凋亡启动时, PARP 在 Asp216-Gly217 之间被 Caspase-3 剪切成两个片段, 使 PARP 中与 DNA 结合的两个锌指结构与羧基端的催化区域分离, 不能发挥正常功能^[20]。本实验结果显示, 随着药物浓度增加, caspase-3 酶活性逐渐增强, 呈时间-剂量依耐性, 从而证实了 caspase-3 参与 ZCO 诱导细胞凋亡过程。

正常情况下 hsp-70 位于细胞质内, 当细胞遭受应激作用时, hsp-70 迅速移入细胞核内并包围核仁, 细胞质内只有少量存在; 而应激消除后细胞处于恢复阶段时, 细胞核内 hsp-70 又返回细胞质, 在细胞质内呈低水平表达, 再次应激又重新返回细胞核^[21], 其在许多肿瘤中呈高表达, 如宫颈癌组织的 hsp-70 阳性率高于正常对照组织, 且低分化宫颈癌组织的阳性率高于高分化宫颈癌。本实验中, 随药物浓度增加及作用时间延长, hsp-70 表达水平逐渐降低, 证实 ZCO 通过影响 hsp-70 蛋白表达而抑制细胞增殖。

当细胞周期紊乱时, 细胞出现恶性增殖, 导致肿瘤的发生^[22]。本实验显示, 随着 ZCO 浓度增加, G₂ 期细胞增多, 细胞周期阻滞在 G₂/M 期, 阻断了细胞的有丝分裂, 从而对 HeLa 细胞增殖起到抑制作用。

总之, ZCO 可抑制 HeLa 细胞增殖, 其机制是通过激活凋亡途径关键酶, 使凋亡相关 hsp-70 蛋白表达下调, 细胞周期阻滞在 G₂/M 期, 最终阻止肿瘤细胞的增殖与分化。

参考文献

- [1] WAGGONER S E. Cervical cancer [J]. Lancet, 2003, 361 (9376): 2217–2225.
- [2] ANTTILA A, PUKKALA E, SODERMAN B, et al. Effect of organised screening on cervical cancer incidence and mortality in Finland, 1963–1995: recent increase in cervical cancer incidence. [J]. Int J Cancer J Int Du Cancer, 1999, 83(1): 59–65.
- [3] CHUNG H H, JANG M J, JUNG K W, et al. Cervical cancer incidence and survival in Korea: 1993–2002 [J]. Int J Gynecol Cancer, 2006, 16(5): 1833–1838.
- [4] YANG Z, LUO S, PENG Q, et al. GC-MS Analysis of the essential oil of coral ginger (*Zingiber corallinum* Hance) rhizome obtained by supercritical fluid extraction and steam distillation extraction [J]. Chromatographia, 2009, 69 (7/8): 785–790.
- [5] LUO S Q, PENG Q C, YANG X O, et al. Volatiles and inhibitory phytopathogens fungi activities of essential oil extracted from *Zingiber corallinum* Hance [J]. Guangdong Agricultural Sci , 2013, 40(17): 84–86.
- [6] DE-SHUN Y U, FEI-FEI Y E, YANG X Q. Antioxidant activity of essential oil from *Zingiber corallinum* Hance [J]. Food Sci , 2011, 32(17): 164–167.
- [7] 袁琦, 曹煜, 瘦芬, 等. 珊瑚姜油消毒液的消毒杀菌研究 [J]. 贵阳医学院学报, 2011, 36(1): 34–37.
- [8] YANG C, ZHOU L L, WANG H Y, et al. The inhibitory effect of *Zingiber corallinum* Hance essential oil on drug-resistant bacteria and evaluation of its acute toxicity [J]. Med Sci Monitor, 2011, 17(5): 139–146.
- [9] LOOVEREN M V, GOOSSENS H, GROUP T A S. Antimicrobial resistance of *Acinetobacter spp.* in Europe [J]. Clin Microbiology Inf , 2004, 10(8): 684–704.
- [10] 涂云华, 康颖倩, 周英, 等. 姜黄挥发油对 THP-1 细胞增殖及凋亡的影响 [J]. 山东大学学报(医学版), 2015, 53 (5): 46–51.
- [11] HWANG T S, HAN H S, CHOI H K, et al. Differential, stage-dependent expression of Hsp70, Hsp110 and Bcl-2 in colorectal cancer [J]. J Gastroent Hepatology, 2003, 18 (6): 690–700.
- [12] 吴江群, 聂兴举, 秦泽莲. 氧化苦参碱对病理性瘢痕成纤维细胞增殖凋亡的影响 [J]. 中国微创外科杂志, 2011, 11(3): 259–263.
- [13] 张润宇, 余德顺. 民间传统药用植物珊瑚姜的研究与开发进展 [J]. 四川中医, 2004, 22(10): 26–28.
- [14] 彭霞, 赵应红. 傣药珊瑚姜的生药学研究 [J]. 中华现代临床医学杂志, 2004, 2(12B): 1172–1174.
- [15] 连海, 金宁一, 李霄, 等. 新城疫病毒 HN 基因诱导人肺癌细胞 SPC-A1 凋亡的作用机制 [J]. 中国生物化学与

- 分子生物学报,2006,22(3):222–227.
- [16] CAO X, WANG A H, JIAO R Z, et al. Surfactin induces apoptosis and G2/M arrest in human breast cancer MCF-7 cells through cell cycle factor regulation[J]. Cell Biochem Bioph ,2009,55(3):163–171.
- [17] DEACIUC I V, FORTUNATO F, D SOUZA N B, et al. Modulation of caspase-3 activity and Fas ligand mRNA expression in rat liver cells *in vivo* by alcohol and lipopolysaccharide[J]. Alcoh Clin Exp Res ,1999, 23 (2):349–356.
- [18] LU H F, SUE C C, YU C S, et al. Diallyl disulfide (DADS) induced apoptosis undergo caspase-3 activity in human bladder cancer T24 cells[J]. Food Chem Toxi , 2004,42(10):1543–1552.
- [19] IRAJ J A, MOJTABA S, FATEMEH V, et al. Evaluation of insulin and ascorbic acid effects on expression of Bcl-2 family proteins and caspase-3 activity in hippocampus of STZ-induced diabetic rats[J]. Cell Mol Neurobiol ,2009, 29(1):133–140.
- [20] MOSSER D D, CARON A W, BOURGET L, et al. Role of human heat shock protein hsp70 in protection against stress-induced apoptosis[J]. Mole Cell Biology ,1997, 17 (9):5317–5327.
- [21] MOSSER D D, CARON A W, BOURGET L, et al. The chaperone function of hsp70 is required for protection against stress-induced apoptosis[J]. Mole Cell Biology , 2000,20(19):7146–7159.
- [22] ELDER R T, BENKO Z, ZHAO Y. HIV-1 VPR modulates cell cycle G₂/M transition through an alternative cellular mechanism other than the classic mitotic checkpoints.[J]. Front Biosci ,2002,7(2):d349–d357.

2017 年全国医药学术交流会暨 临床药学与药学服务研究进展培训班征文通知

2016年8月习近平主席在全国卫生与健康大会上强调,要坚持正确的卫生与健康工作方针,以基层为重点,以改革创新为动力,预防为主,中西医并重,将健康融入所有政策,人民共建共享。习近平主席的讲话使广大医药卫生工作者对健康中国建设充满信心。在习主席重要讲话精神指引下,我们将进一步坚定改革的信心和决心,深化医药卫生体制改革。当下,以患者为中心的药学服务逐渐成为医院药学的核心工作。进一步明确药师职业定位,努力提升药师专业服务技能成为行业的当务之急,也是医院药学工作者坚持正确的卫生与健康工作方针的实际行动。为此,中国药理学会和《医药导报》编辑部研究决定,于2017年5月下旬在江苏泰州举办“2017年全国医药学术交流会暨临床药学与药学服务研究进展培训班”。会议主题为“新时代医院药学的机遇与挑战:改革与信心”。会议由中国药理学会主办,《医药导报》编辑部承办。届时将邀请国内专家、学者就会议主题作专题报告,并进行学术交流和研讨,参加会议代表均可获得国家继续医学教育学分10分。现将征文内容及有关事项通知如下。

1 征文内容

①“互联网+”时代药学信息服务的机遇与挑战;②新型媒体平台在药学服务中的应用研究;③大数据时代药物安全信号的发现与评价;④药品零加成后的医院药学管理与建设实践;⑤精准医学背景下的个体化用药研究;⑥循证药学与合理用药研究;⑦临床药师进行药学服务的典型案例分析;⑧用药差错的表现与防范措施;⑨药品不良反应监测与药源性疾病研究;⑩抗菌药物专项整治的效果评价;⑪与会议主题相关的其他内容。

2 征文要求

未公开发表的论文均可作为本次征文稿件,来稿全文在4 000字以内(论文撰写格式请参照《医药导报》2017年第1期第IX页投稿须知或登陆《医药导报》网站首页查看),综述不超过5 000字。论文请通过《医药导报》网站(www.yydbzz.com或www.yydb.cn)在线投稿,并请在论文首页右上角注明“会议征文”。与会代表提交的论文将作为大会交流材料,若经大会学术组研究同意,优秀论文可作大会发言,请论文发言者预先制作PPT课件并按时与会。征文经有关专家审阅通过后,可在《医药导报》正刊或增刊上发表。征文截止时间:2017年3月30日。会议具体时间地点将另行通知。

编辑部地址:武汉市解放大道1095号同济医院《医药导报》编辑部,邮编:430030,电话:027-83643083,027-83666619(fax),E-mail:yydbzz@163.com。